

电容传感器专用检测电路

BH5001数据手册

一、工作原理

北京宇翔电子有限公司最新开发研制的 BH5001 是一款 CMOS 二元调宽式信号拾取专用集成电路，其内部结构框图如图 1 所示，图中虚线框内为外接差动式电容传感器的两个可变电容 C_1 和 C_2 。

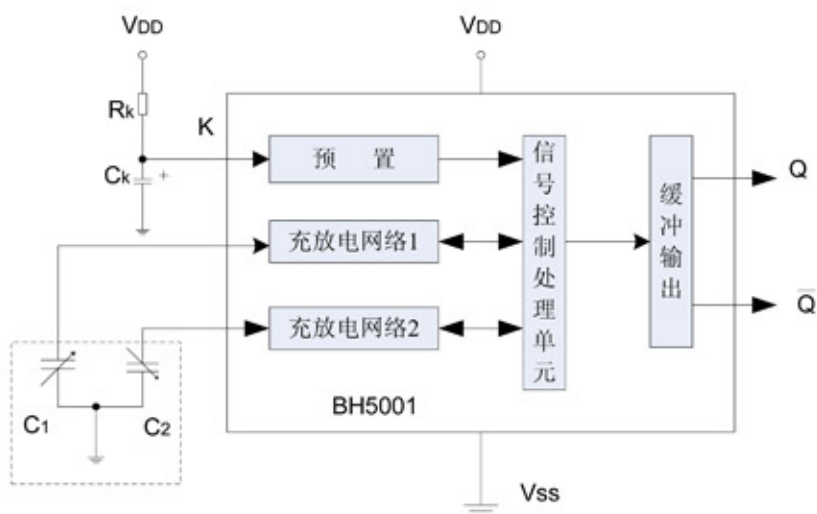


图 1 BH5001 内部结构框图

BH5001 工作原理如下：设直流电源接通时（例如 $V_{DD}=6V$ ）， Q 端为高电平， \bar{Q} 端为低电平，则信号控制单元通过充电网络 1 向电容 C_1 充电， C_1 上电压渐升，一旦达到电路控制电平值，信号处理单元使 Q 端立即变为低电平，而 \bar{Q} 端为高电平；此时，电容 C_1 上的电压经充放电网络 1 迅速放电至零，同时信号控制单元通过充放电网络 2 向电容 C_2 充电， C_2 上电压渐升，一旦达到电路控制电平值，信号处理单元再次使 Q 端为高电平， \bar{Q} 端为低电平；于是又开始下一周期的

C_1 充电 C_2 放电...如此周而复始,在 BH5001 电路的输出端(即 Q 与 \bar{Q})各产生一串其宽度受 C_1 和 C_2 电容(大小)控制的脉冲方波。图 2 为各点电压波形图。

根据 CMOS 电路的输出特性,图 2 中 U_1 即为 V_{DD} 电压值(例如 6V),而 U_2 则为信号控制处理单元所设定的控制电平值(例如 3.0V)。

图 1 中两个充/放电网络严格按对称设计,当外接电容 $C_1=C_2$ 时,保证两个充放电网络的时间常数要完全一致。这样,当 $C_1=C_2$ 时,从图 2(a) 中可知, Q 和 \bar{Q} 端电压波形将反相对称(宽度 $T_1=T_2$),从 Q 端与 \bar{Q} 端取出的两个平均值电压之差将等于零。

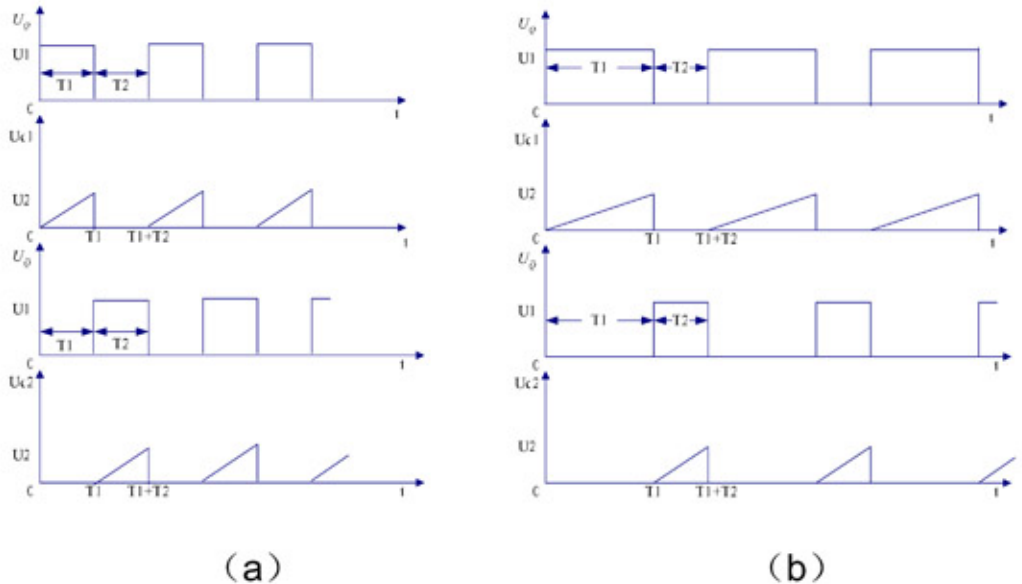


图 2 各点电压波形图

当被检测的物理量使电容 $C_1 > C_2$ 时,由图 2(b) 可知,两输出端的电压平均值之差为: $\Delta U = \bar{U}_Q - \bar{U}_{\bar{Q}} = \frac{T_1 U_1}{T_1 + T_2} - \frac{T_2 U_1}{T_1 + T_2} = \frac{T_1 - T_2}{T_1 + T_2} U_1$ ①

$$\text{而 } T_1 = R C_1 \ln \frac{U_1}{U_1 - U_2} \quad ②$$

$$T_2 = R C_2 \ln \frac{U_1}{U_1 - U_2} \quad ③$$

将式②和③代入式①，得：

$$\Delta U = \frac{C_1 - C_2}{C_1 + C_2} U_i \quad ④$$

理论上已经表明，对于差动电容式传感器，不管它是变面积型还是变间隙型，如果测量电路的输出与 $\frac{(C_1 - C_2)}{(C_1 + C_2)}$ 成正比，则可获得较好的线性度。④式表明了本电路作为电容式传感器专用集成电路的第一个优点。

第二，使用 BH5001，仅需附加几只小元件，即可组装成小电路板安装于电容式传感头上（使电容传感头有源化），这就有效的克服了引线电缆电容的干扰。

第三，电容式传感器接上 BH5001 后，通以直流电源（例如 6V），输出即为准数字输出—二元调宽脉冲方波，结合 CMOS 电路的特点，大大提高了电容传感器的抗干扰能力和噪声容限值。

第四，本电路分辨率极高，可达 0.01%，即是说在 $V_{DD}=6V$ 条件下，当 $C_1+C_2=100\text{pF}$ 时，可检测 $\pm 0.01\text{pF}$ 的电容变化。如果 V_{DD} 增大，其分辨率还要相应增高。

第五，本电路的两个充电电阻（在图 1 充放电网络中的电阻 R）一般取 $51\text{k}\Omega \sim 1\text{M}\Omega$ 。对于差动式电容式传感器 ($C_1=C_0+\Delta C$, $C_2=C_0-\Delta C$, C_0 即为共模电容)，从本电路 Q (或 \bar{Q}) 端输出的调宽方波的频率大约为： $f_0 = \frac{1}{1.4RC_0}$ ⑤

一般约为 $10\text{kHz} \sim 500\text{kHz}$ ，抗干扰能力强，也易于进行后面的信号调理。

二、电路特点

- 工作电压：3V~15V DC
- 工作温域：-40°C~+85°C
- CMOS 电路微功耗，静态功耗电流小于 $5\mu A$ ($V_{DD}=15V$)
- 抗干扰能力强，噪声容限值高
- 共模电容可高达 200PF 以上
- 高分辨率：0.01%
- 线性度好：±0.01%
- 从 Q 端、 \bar{Q} 端各输出一列调宽方波，占空比分别为 $C_1:C_2$ 与 $C_2:C_1$
- 电路模拟输出（平均电压之差）与 $\frac{(C_1-C_2)}{(C_1+C_2)}$ 成正比
- 附加几只小元件，可使电容传头有源化，有效的克服了引线电缆电容的干扰
- 不需要高频激励电源，无须相敏解调器

三、应用举例

(一) 电路接线图

电容式传感器在微位移测量、精密天平计量和振动、加速度、角速度、压力、差压、液位、湿度、厚度等物理量的检测中，有相当广泛的应用。而正是这类线性检测用的电容式传感器，BH5001 均可与之配套使用。近年来，飞速发展的 MEMS（微机电系统）中，已陆续出现许多全新的微传感器，例如，硅电容式微机械加速度表、硅电

容式芯片陀螺，如果将 BH5001 作为微电子电路，将获得优良的微传
感器（系统）。

BH5001 分 A, B 两种，图 3 是 BH5001B 的电路接线图。

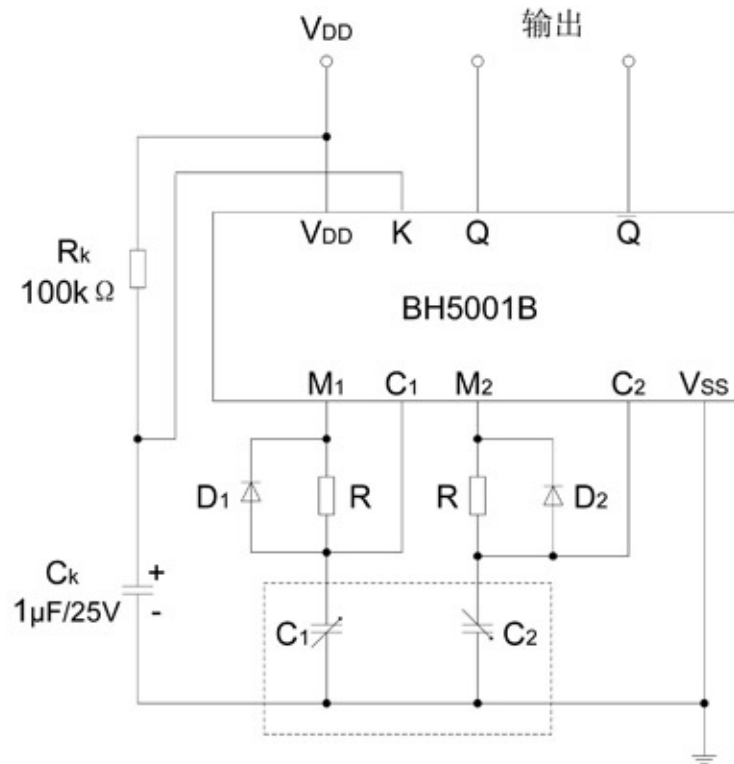


图 3 BH5001B 电路接线图

外接元件取值范围：

R:1/8W 金属膜电阻，51kΩ~1MΩ，两只电阻要匹配等值

D₁,D₂:开关二极管，伏安特性相同

R_k:1/8W 金属膜电阻，51kΩ~100kΩ

C_k:钽电容，1μF/25V

BH5001A 的电路接线更简单，因为 R,D 组成的充/放电网络已设
计在芯片中，无需外接 R,D₁,R,D₂ 元件。见图 4。

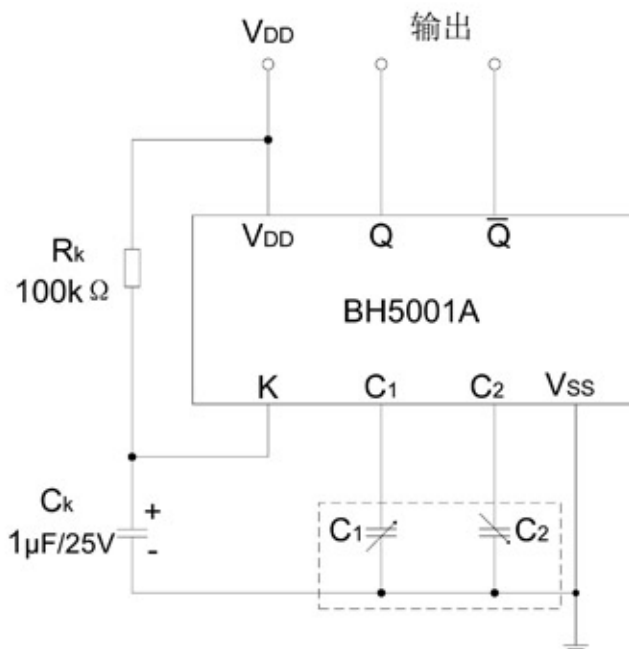


图 4 BH5001A 电路接线图

(二) 差动电容式传感器的应用

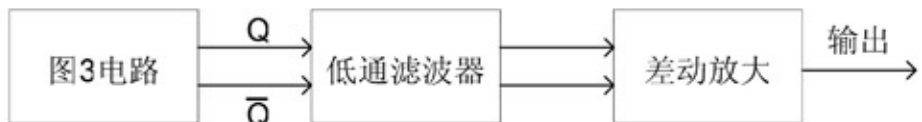


图 5 差动电容式传感器检测电路原理图

一般来说，差动放大级还要求具有调零功能，因此，需加简单可靠的调零电路。

在过程检测或过程控制系统中，电容传感器常用作两线制的变送器。因此，差动放大级还应具备电压—电流变换功能，可把图 5 的差动放大级直接设计成差动式电压—电流变换电路，全电路即成两线制，4~20mA 输出。

(三) 单可变电容传感器的应用

如果电容式传感器仅是一个单可变电容，例如，在外部物理量的作用下，它的电容值仅为 20PF~22PF。我们可设该电容为图 3 中的 $C_1=20\text{PF} + \Delta C_x$ ($\Delta C_x=0\sim2\text{PF}$)，相应的选取一个与温度系数尽量相当的固定电容器作为图 3 中的 $C_2=20\text{PF}$ ，由式④可得到输出为：

$$\Delta U = \frac{C_1 - C_2}{C_1 + C_2} U_1 = \frac{\Delta C_x U_1}{40\text{pF} + \Delta C_x} \approx \frac{\Delta C_x}{40} U_1 \quad ⑥$$

同样，如果单可变电容传感器实际电容值的变化为 20PF~18PF，我们可设该电容为图 3 中的 $C_2=20\text{PF} - \Delta C_x$ ($\Delta C_x=0\sim2\text{PF}$)，相应的取图 3 中的 C_1 为固定电容器， $C_1=20\text{PF}$ ，由式④仍可得到电路输出平均电压之差为式⑥。

如果认为式⑥的近似精度不够高，还可以在上述 C_1 、 C_2 之上各并联一个等值的云母电容，比如 30PF，则式⑥将变为：

$$\Delta U = \frac{C_1 - C_2}{C_1 + C_2} U_1 = \frac{\Delta C_x U_1}{(30+20+\Delta C_x)+(30+20)} = \frac{\Delta C_x U_1}{100+\Delta C_x} \approx \frac{\Delta C_x}{100} U_1 \quad ⑦$$

(四) 数字输出应用

电容传感器接入 BH5001 后（如图 3），从 BH5001 的 Q 端（或 \bar{Q} 端）即输出一列调宽方波，其宽度本身就包含 C_1 （或 C_2 ）变化的信息。显然，利用这种调宽方波作为门控，加上相应计数器电路，则 C_1 （或 C_2 ）的变化即可方便地转换为计数的变化。

四、注意事项

1.BH5001 的工作电压范围较宽（3V~15V DC），但在模拟电路应用中，电源电压 V_{DD} 是式④中的重要因子 U_1 ，因此，必须是精度较高的直流稳压电源，例如 $6V \pm 1\%$ （或 $6V \pm 0.5\%$ ）， $10V \pm 1\%$ （ $10V \pm 0.5\%$ ）....

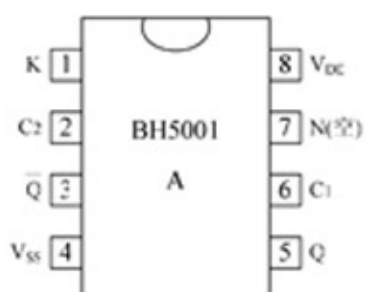
2.在高精度应用中，考虑到电路板在电容式传感器上的安装位置，必须计入分布电容，杂散电容的影响。因此，式④可修正为：

$$\Delta U = \frac{\Delta C_s + (C_1 - C_2)}{\sum C_s + (C_1 + C_2)} U_1 \quad ⑧$$

式中， $\sum C_s$ 为所有反映到电容传感器的 C_1 与 C_2 上的分布电容、杂散电容之和， ΔC_s 则为所有反映到电容传感器上两根电容引出线上的分布电容、杂散电容之差。本电路（BH5001）反射到 C_1 、 C_2 上的分布电容、寄生电容小于 $15PF$ 。从式⑧可见，一旦专用电路板焊接好， $\sum C_s$ 与 ΔC_s 均成定值，它不影响差动式传感器的线性度，只是改变了传递函数的比例系数（但也是定值）。

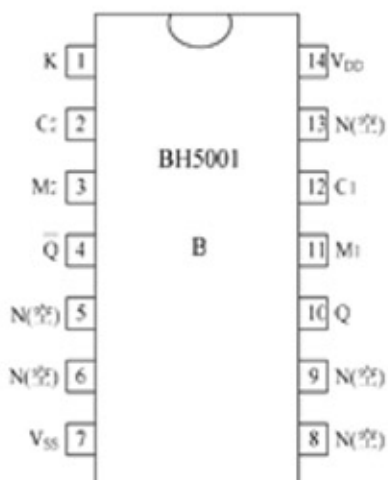
3.为保证 CMOS 电路输出高电平在高低温环境下的精确稳定性，建议本电路（BH5001）的输出端（ Q 和 \bar{Q} ）负载能力控制在 $0.1mA$ 左右，例如，若 V_{DD} 为 $6V$ ，则 Q （或 \bar{Q} ）所接阻抗应大于 $50k\Omega$ ；若 V_{DD} 为 $10V$ ，则 Q （或 \bar{Q} ）所接阻抗应大于 $100k\Omega$ 。

五、管脚示意图



8 线封装外引线图

管脚	符号	简介
1	K	引导端
2	C ₂	外接电容传感器之 C ₂
3	Q̄	方波输出
4	V _{SS}	地
5	Q	方波输出
6	C ₁	外接电容传感器之 C ₁
7	N	空脚
8	V _{DD}	电源



14 线封装外引线图

管脚	符号	简介
1	K	引导端
2	C ₂	外接电容传感器之 C ₂
3	M ₂	充放电端, 外接 R,D ₂ 网络
4	Q̄	方波输出
5, 6	N	空脚
7	V _{SS}	地
8, 9	N	空脚
10	Q	方波输出
11	M ₁	充放电端, 外接 R,D ₁ 网络
12	C ₁	外接电容传感器之 C ₁
13	N	空脚
14	V _{DD}	电源

六、电路主要参数

特性	符号	条件 若无其他规定 V _{SS} =0V	V _{DD} (V)	极限值						单位	
				T _A =-55°C		T _A =25°C		T _A =125°C			
				最小	最大	最小	最大	最小	最大		
电源电流	I _{DD}		5		1		1		30	μA	
			10		2		2		60		
			5		4		4		120		
输出高电压 电平	V _{OH}		5	4.95		4.95		4.95		V	
			10	9.95		9.95		9.95			
			15	14.95		14.95		14.95			

输出低电压电平	V _{OL}		5		0.05		0.05		0.05	V
			10		0.05		0.05		0.05	
			15		0.05		0.05		0.05	
输入漏电流	I _{IH}	V _{IH} =15V	15		-		0.1		1	μA
	I _{LH}	V _{IL} =0V	15		-		-0.1		-1	
输出高电平电流	I _{OH}	V _{IL} =0V, V _{IH} =5V V ₀ =4.6V	5	-0.64		-0.51		-0.36		mA
		V _{IL} =0V, V _{IH} =10V V ₀ =9.5V	10	-1.6		-1.3		-0.9		
		V _{IL} =0V, V _{IH} =5V V ₀ =13.5V	15	-4.2		-3.4		-2.4		
输出低电平电流	I _{OL}	V _{IL} =0V, V _{IH} =5V V ₀ =0.4V	5	0.64		0.51		0.36		mA
		V _{IL} =0V, V _{IH} =10V V ₀ =0.5V	10	1.6		1.3		0.9		
		V _{IL} =0V, V _{IH} =15V V ₀ =1.5V	15	4.2		3.4		2.4		

储存温度范围 T_S.....-65℃~150℃

焊接温度(10 秒)T_L.....265℃(极限值)

测试仪器和电烙铁等要接地良好，不得在通电的情况下焊接和装拆 CMOS 集成电路。电路应保存在金属容器中，或者将所有外引线用导电材料短接，以免在外引线脚形成静电电荷。